

Primljen / Received: 8.8.2015.  
 Ispravljen / Corrected: 16.1.2016.  
 Prihvaćen / Accepted: 24.2.2016.  
 Dostupno online / Available online: 10.7.2016.

# Analiza svojstava procjednog betona

Autori:



Mr.sc. **Rama Mahalingam**, dipl.ing.građ.  
 Državno tehničko sveučilište  
 Građevinski fakultet  
 Tamil Nadu, Indija  
[ramamahal@gmail.com](mailto:ramamahal@gmail.com)

Stručni rad

[\*\*Rama Mahalingam, Shanthi Vaithiyalingam Mahalingam\*\*](#)

## Analiza svojstava procjednog betona

U radu se analiziraju svojstva procjednog betona poput tlačne čvrstoće, vlačne čvrstoće cijepanjem, vlačne čvrstoće savijanjem, poroznosti i propusnosti, i to za dvije frakcije agregata i za različite udjele agregata i cementa. Iako se pokazalo da se s višim udjelom cementa postižu bolji rezultati u pogledu čvrstoće, na taj se način dobivaju niže vrijednosti poroznosti i propusnosti. Ocenjuje se i odnos između poroznosti, propusnosti i tlačne čvrstoće procjednog betona za različite veličine agregata i različite udjele cementa. Rezultati ispitivanja pokazuju da se može postići mješavina procjednog betona koja ima prihvatljive vrijednosti propusnosti i čvrstoće.

**Ključne riječi:**

procjedni beton, porni beton, poroznost, propusnost



Izv.prof.dr.sc. **Shanthi Vaithiyalingam Mahalingam**  
 Državno tehničko sveučilište  
 Građevinski fakultet  
 Tamil Nadu, Indija  
[drvmsanthi@gmail.com](mailto:drvmsanthi@gmail.com)

Professional paper

[\*\*Rama Mahalingam, Shanthi Vaithiyalingam Mahalingam\*\*](#)

## Analysis of pervious concrete properties

Various properties of pervious concrete, such as the compressive strength, split tensile strength, flexural strength, porosity and permeability, are studied in this paper for two aggregate gradations with different aggregate to cement ratios. Although the higher cement content exhibited better results for strength properties, the porosity and permeability results were lower. This study also aims to evaluate the balance between the porosity, permeability and compressive strength of pervious concrete for different aggregate size and cement content values. The test results show that it is possible to produce a pervious concrete mixture with acceptable permeability and strength values.

**Key words:**

pervious concrete, porous concrete, porosity, permeability

Fachbericht

[\*\*Rama Mahalingam, Shanthi Vaithiyalingam Mahalingam\*\*](#)

## Analyse der Eigenschaften von Sickerbeton

In dieser Arbeit werden Eigenschaften von Sickerbeton, insbesondere die Druckfestigkeit, die Spaltzugfestigkeit, die Biegezugfestigkeit, die Porosität und die Durchlässigkeit, für zwei Fraktionen von Gesteinskörnungen und zwei verschiedene Zementanteile analysiert. Obwohl sich gezeigt hat, dass bei höheren Zementanteilen bessere Resultate bezüglich der Festigkeit erzielt werden, zeigen sich dementsprechend tiefere Werte der Porosität und der Durchlässigkeit. Ebenso wird das Verhältnis zwischen Porosität, Durchlässigkeit und Druckfestigkeit von Sickerbeton für verschiedene Gesteinskörnungen und Zementanteile beurteilt. Die Resultate der Untersuchungen zeigen, dass eine Sickerbetonmischung mit akzeptablen Eigenschaften erzielt werden kann.

**Schlüsselwörter:**

Sickerbeton, Gasbeton, Porosität, Durchlässigkeit

## 1. Uvod

U današnje se vrijeme bilježi sve veći nedostatak prirodnih resursa zbog nagle urbanizacije i razvoja infrastrukturnih sadržaja. Zbog dinamičnog razvoja indijskih gradova, prostor u njima u velikoj mjeri zauzet zgradama i nepropusnim betonskim kolnicima. Kiša ne dopire do podzemlja jer betonski kolnici ne propuštaju ni vodu ni zrak. Inženjeri zbog toga razvijaju razne strategije kako bi zaštitili i obnovili prirodni ekosustav našeg planeta. Jedna od tih strategija je i primjena procjednog betona, a radi se o posebnoj vrsti betona koju karakterizira visoka razina propusnosti i poroznosti. Procjedni beton je mješavina cementa, ujednačene frakcije krupnozrnatog agregata, sitnozrnatog agregata u maloj količini ili bez njega, vode te po mogućnosti aditiva. Od odgovarajuće količine vode i cementnog materijala formira se kašasti materijal (pasta) kojim se ovijaju zrna agregata, ali prostor između pojedinih zrna ostaje prazan. Ako se količina sitnozrnatog agregata jako smanji ili se takav materijal u potpunosti izostavi, u betonu se stvaraju velike i kontinuirane šupljine. Osnovni zadatak je prenos većih količina vode kroz pore betona u podzemne slojeve. Procjedni beton poznat je i kao beton bez sitnih frakcija, porni beton ili propusni beton. Kolnici od procjednog betona stekli su popularnost kao djelotvoran način za upravljanje olujnim padalinama, kao materijal koji omogućuje smanjivanje količine vode koja se izlijeva u okoliš te kao prikladan način za smanjenje koncentracije zagađujućih supstancija. Zbog svoje sposobnosti glede propuštanja oborinskih voda, koristi se za parkirališne prostore, zone s niskim prometnim opterećenjem, pločnike i druge površine, a također i za neke druge prostore slične namjene. Procjedni se beton može koristiti i kao beton za izvođenje zidnih konstrukcija kada se treba smanjiti težina konstrukcije ili pak postići bolja toplinska izolacija, zatim kao površinski sloj za parkirališta, teniske terene, odgovarajuće prostore u zoološkim vrtovima, pregrade u konjušnicama itd., te kao podna obloga u staklenicima kako bi se izbjeglo nakupljanje vode [1-3].

Danas se procjedni beton sve više upotrebljava zbog svojih svojstava koja su u skladu s načelima održivosti [4]. Taj se beton smatra ekološki prihvatljivim zato što umanjuje buku koja nastaje tijekom kontakta između pneumatika i kolnika, ublažava efekt vrućeg otoka u urbanim sredinama, smanjuje prskanje vode na cestama, umanjuje proklizavanje vozila, pridonosi povećanju razine podzemnih voda, smanjuje otjecanje oborinskih voda, ograničava prodor zagađivala u podzemnu vodu i štiti prirodne ekosustave [5]. Unatoč spomenutim pogodnostima, primjena procjednog betona u hladnim klimatskim uvjetima ipak je ograničena i to zbog njegove niske tlačne čvrstoće, mogućnosti začepljenja, izraženijeg krunjenja i slabe otpornosti na zamrzavanje i odmrzavanje. U usporedbi s uobičajenim vrstama betona, svojstva procjednog betona neosporno upućuju na njegovu održivost [7]. Neke od važnijih značajki procjednog betona su niža jedinična težina i otpornost na skupljanje pri sušenju, izraženija propusnost, bolja termoizolacijska svojstva, niža tlačna, vlačna i čvrstoća prijanjanja, manji pritisak na oplate tijekom ugradnje, dulje vrijeme njege prije skidanja oplate,

izostanak kapilarnog privlačenja, te ekonomičnost materijala. Kod visokog stupnja poroznosti, vodopropusnost se toga betona povećava, ali se smanjuje tlačna čvrstoća jer nema sitnozrnatog agregata [8]. Zato je izuzetno važno odrediti optimalnu razinu poroznosti kako bi se postigla potrebna svojstva čvrstoće i propusnosti.

Cilj je ovog rada istraživanje mehaničkih i hidrauličkih svojstava primjenom različitih parametara. Parametri koji se mijenjaju su veličina i količina krupnozrnatog agregata, pri čemu količina cementa i vode ostaje ista. Utjecaj tih parametara na mehanička svojstva kao što su tlačna čvrstoća, vlačna čvrstoća cijepanjem i vlačna čvrstoća savijanjem, te na hidraulička svojstva kao što su poroznost i propusnost, ispitani su u skladu s odgovarajućim ASTM normama. Pritom je težište na odnosu između različitih svojstava.

## 2. Materijali

Čvrstoća procjednog betona ovisi o količini cementa, vodocementnom faktoru, stupnju zbijenosti i frakciji agregata. Kako bi se postigla zadana ugradljivost procjednog betona s uglatim agregatom, treba se obično predvidjeti više paste nego kod procjednog betona koji u sebi sadrži obli agreat ujednačene veličine. Međutim, procjedni beton s uglatim agregatom ima veću vlačnu čvrstoću od betona proizvedenog s oblim agregatom, što je ustanovljeno uspoređivanjem uzoraka procjednog betona iste gustoće i poroznosti. Uglatim agregatom dobiva se bolja pasta za povezivanje agregata. Stoga je kao krupnozrnati agregat odabran granit lokalnog podrijetla. U ovom su istraživanju korištene dvije frakcije: agregat koji prolazi kroz sito promjera 9,5 mm i koji se zadržava na situ promjera 4,75 mm, te agregat koji prolazi kroz sito promjera 12,5 mm i koji se zadržava na situ promjera 9,5 mm. U izradi uzoraka korišten je običan portlandski cement klase 53. Za miješanje betona i njegovu uzorku korištena je pitka voda dostupna u laboratoriju, s pH-vrijednošću od najmanje 6, koja je u skladu sa zahtjevima 456-2000. U okviru projektiranja mješavine obavljena su osnovna ispitivanja cementa, vode i krupnozrnatog agregata, a dobiveni parametri uključeni su u recepturu mješavine.

### 2.1. Svojstva materijala dobivena tijekom ispitivanja

Svojstva materijala dobivena tijekom ispitivanja prikazana su u tablicama 1. i 2.

Tablica 1. Rezultati za krupnozrnati agregat

Opis	Rezultat	
	9,5 mm – 4,75 mm	12,5 mm – 9,5 mm
Specifična gustoća	2,87	2,68
Nasipna gustoća [kg/m <sup>3</sup> ]	1600	1538
Vodoupojnost [%]	1	1

Tablica 2. Rezultati za cement

Opis	Rezultat
Specifična gustoća	3,15
Finoća (dobivena suhim prosijavanjem, IS 4031-part 1, 1996)	8 %
Standardna postojanost	31 %
Vrijeme početka vezivanja	35 minuta
Vrijeme završetka vezivanja	570 minuta
Nasipna gustoća	1411 kg/m <sup>3</sup>

## 2.2. Sastav mješavine

Da bi se na što ekonomičniji način postigao beton odgovarajuće čvrstoće, poroznosti i propusnosti, važno je odabrati odgovarajuće sastojke betona te odrediti njihove međusobne odnose. Svojstva materijala od kojih se sastoji procjedni beton ovise kako o samim materijalima tako i o postupku ugradnje. Da bi se postigla odgovarajuća debljina ovoja oko agregata, nasumice je variran udio krupnozrnatog agregata [9] i to na bazi sastava betona bez sitnozrnate frakcije. Na standardan je način projektirano deset mješavina, kao što je to prikazano u tablici 3. Treba napomenuti da kratica A3C1S1 označava uzorak s tri dijela agregata i jednim dijelom cementa, dok S1 znači da se radi o agregatu čija zrna prolaze kroz sito veličine 9,5 mm, a zadržavaju se na situ veličine 4,75 mm. Oznaka S2 znači da se radi o agregatu čija zrna prolaze kroz sito veličine 12,5 mm, a zadržavaju se na situ veličine 9,5 mm. Sviše vlažna ili suviše nabijena mješavina ne iskazuje svojstva procjednog betona niti svojstvo prodiranja. Za svih deset skupina mješavina prihvaćeno je da vodocementni faktor iznosi 0,33 [10, 11].

## 2.3. Pripremanje uzorka

Procjedni beton priprema se miješanjem vode, cementa i krupnozrnatog agregata. Za potrebe ispitivanja pripremljeno

je ukupno 120 kockastih uzoraka, 30 valjkastih uzoraka i 30 prizmatičnih uzoraka. Miješanje je obavljeno u miješalici za beton. Najprije se krupnozrnati agregat pomiješa s jednom trećinom vode za miješanje. Zatim se dodaje cement i pomiješa s krupnozrnatim agregatom, nakon čega se u miješalicu doda preostala voda te se miješanje nastavlja sve do postizanja homogene smjese. Smjesom se zatim pune kalupi, a smjesa u kalupima se zbijanje pomoću ručnog nabijača. Tijekom zbijanja se za svaki sloj ravnomjerno nanosi dvadeset i pet udaraca po površini betona. Svi se uzorci vade iz kalupa nakon 24 sata i njeguju u vodi od trenutka skidanja kalupa pa sve do ispitivanja. Svi uzorci procjednog betona pripremljeni su u skladu s uputama iz norme ASTM C192 [12] "Standardni postupak za izradu i njegu betonskih uzoraka za laboratorijska ispitivanja".

## 3. Metode ispitivanja

### Tlačna čvrstoća

Tlačna čvrstoća je izuzetno važan parametar za donošenje odluke o kvaliteti i o karakteristikama betona. Tlačna čvrstoća je ispitana prema normi ASTM C 39 [13]. Za svaku mješavinu su pripremljeni i ispitani uzorci dimenzija 150 mm x 150 mm x 150 mm. Vrijednost tlačne čvrstoće iskazana je kao prosjek od tri ispitivanja na kockastim uzorcima.

### Vlačna čvrstoća cijepanjem

Vlačna čvrstoća cijepanjem ispitana je na valjkastim uzorcima promjera 150 mm i visine 300 mm nakon 28 dana njege prema normi ASTM C496 [14].

### Vlačna čvrstoća savijanjem

Vlačna čvrstoća pri savijanju ispitana je na prizmatičnom uzorku dimenzija 150 mm x 150 mm x 700 mm prema normi ASTM C78/C496 [15].

### Poroznost

Poroznost je odnos između obujma šupljina i ukupnog obujma uzorka. Ukupna poroznost [16-18] izmjerena je metodom

Tablica 3. Sastav mješavine

Mješavina	Veličina agregata	Omjer agregata i cementa	Cement [kg/m <sup>3</sup> ]	Krupnozrnati agregat [kg/m <sup>3</sup> ]
A3C1S1	9,5 mm – 4,75 mm	3:1	330	1178
A4C1S1		4:1	263	1251
A5C1S1		5:1	219	1300
A6C1S1		6:1	187	1334
A7C1S1		7:1	163	1360
A3C1S2	12,5 mm – 9,5 mm	3:1	321	1237
A4C1S2		4:1	255	1311
A5C1S2		5:1	212	1360
A6C1S2		6:1	181	1395
A7C1S2		7:1	158	1421

pomaka vode na bazi Arhimedovog zakona uzgona, prema kojem je sila uzgona jednaka težini istisnutog fluida. Ukupna poroznost uključuje otvorene i zatvorene pore i može se izmjeriti pomoću uređaja za mjerjenje uzgona. Kako bi se izmjerila vrijednost poroznosti, treba biti poznata suha masa, uronjena masa i ukupan obujam:

$$p = \left[ 1 - \left( \frac{W_1 - W_2}{\rho_w V} \right) \right] \times 100\% \quad (1)$$

gdje je:

$p$  - ukupna poroznost procjednog betona [%]

$W_1$  - masa uzorka procjednog betona sušenog 24 sata na zraku [kg]

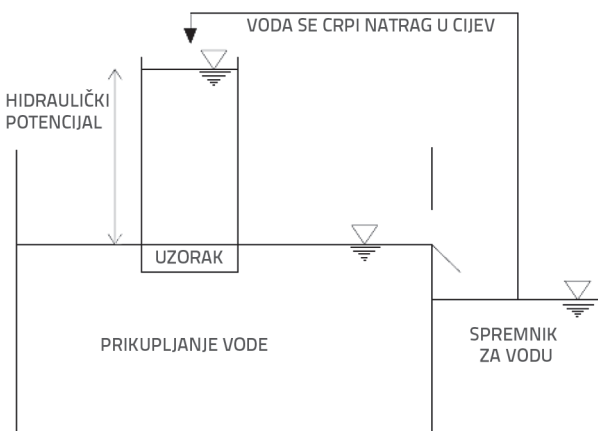
$W_2$  - masa uzorka procjednog betona uronjenog u vodu [kg]

$V$  - obujam uzorka procjednog betona [mm<sup>3</sup>]

$r_w$  - gustoća vode [kg/mm<sup>3</sup>].

#### Propusnost

Slijed ispitivanja projektiran je na bazi metode propusnosti pri stalnom potencijalu [19-21], a ispitivanje propusnosti provedeno je kako je prikazano na slici 1.



Slika 1. Ispitivanje propusnosti

Tablica 4. Svojstva procjednog betona

Mješavina	Tlačna čvrstoća [N/mm <sup>2</sup> ]		Vlačna čvrstoća cijepanjem [N/mm <sup>2</sup> ]	Vlačna čvrstoća savijanjem [N/mm <sup>2</sup> ]	Poroznost [%]	Propusnost [mm/s]
	7 dana	28 dana				
A3C1S1	11,38	15,87	1,70	3,21	20,95	8,60
A4C1S1	8,36	12,28	1,53	2,86	22,08	11,64
A5C1S1	5,73	8,56	1,40	2,62	23,47	14,13
A6C1S1	4,81	6,46	1,29	2,22	24,43	15,08
A7C1S1	3,78	5,94	1,17	1,93	26,19	16,67
A3C1S2	11,08	13,73	1,66	2,96	21,50	13,09
A4C1S2	8,19	10,07	1,47	2,81	22,54	15,75
A5C1S2	5,56	6,89	1,32	2,37	24,43	17,39
A6C1S2	4,65	5,64	1,23	2,02	25,27	18,45
A7C1S2	3,70	5,05	1,15	1,88	28,16	19,80

Jedna od najvažnijih značajki procjednog betona je činjenica da omogućava prolazak vode kroz matricu. Brzina prolaska kroz procjedni beton izravno je povezana s količinom zračnih šupljina. Cijev od polivinil-klorida (PVC-a) postavlja se na uzorak procjednog betona i propisno se brtvi uz površinu uzorka da bi se izbjeglo procurirvanje. Ispitivanje propusnosti provodi se kada je količina vode koja ulazi u uzorak kroz PVC cijev dosta na za vrijeme zadanih konstantnih potencijala vode u ulaznoj cijevi. Brzina protoka vode može se kontrolirati pomoću ventila. Brzina prolaska vode može se odrediti mjerjenjem obujma vode prikupljene u posudi tijekom određenoga vremena pri zadanim stupcima vode. Koeficijent propusnosti  $k$  mm/s može se izraziti kao

$$k = \frac{QL}{Aht} \quad (2)$$

gdje je:

$k$  - propusnost [mm/s]

$Q$  - ukupan obujam vode [mm<sup>3</sup>]

$L$  - duljina uzorka [mm]

$A$  - površina poprečnog presjeka uzorka [mm<sup>2</sup>]

$h$  - visina stupca vode [mm]

$t$  - vrijeme [s].

## 4. Rezultati i rasprava

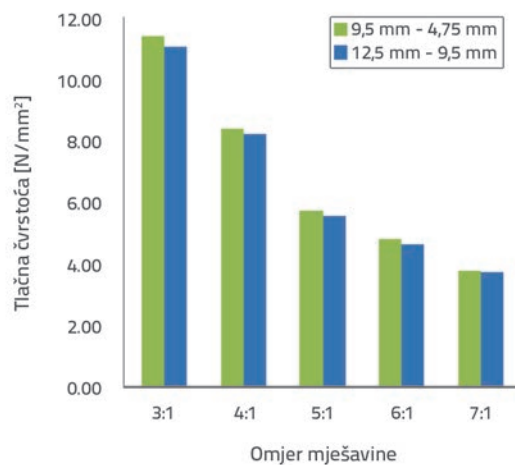
Djelovanje tlačne čvrstoće, vlačne čvrstoće cijepanjem, vlačne čvrstoće savijanjem, poroznosti i propusnosti na uzorce ispitano je za dvije veličine agregata, a rezultati su iskazani u tablici 4. i na slikama od 2. do 12.

### 4.1. Tlačna čvrstoća

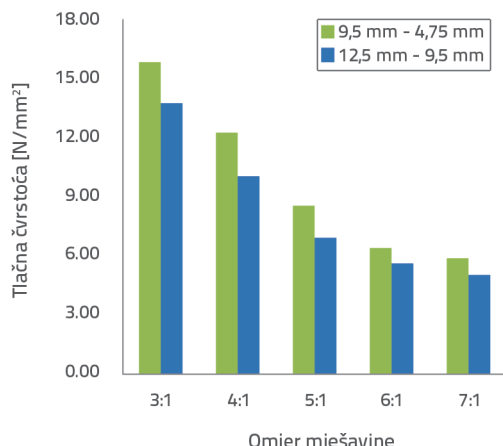
Tlačna čvrstoća procjednog betona varira nakon sedam dana od 11 N/mm<sup>2</sup> do 4 N/mm<sup>2</sup> za obje veličine agregata, tj. za raspon od 9,5 mm do 4,75 mm (S1) i za raspon od 12,5 mm do 9,5 mm (S2), a za različiti omjer agregata i cementa od 3:1 do 7:1. Tlačna čvrstoća nakon 28 dana varira od 16 N/mm<sup>2</sup>

do  $6 \text{ N/mm}^2$  za agregat S1, tj. od  $14 \text{ N/mm}^2$  do  $5 \text{ N/mm}^2$  za agregat S2, za različiti omjer agregata i cementa od 3:1 do 7:1. Razlika tlačne čvrstoće između dva agregata varira od 3 % nakon sedam dana do 16 % nakon 28 dana, kao što se može vidjeti na slikama 2. i 3. Prosječno povećanje tlačne čvrstoće u vremenu od 7 do 28 dana iznosi 20 % za agregat S1 i 31 % za agregat S2. Do loma najčešće dolazi na kontaktu između cementa i agregata, što dovodi do niže prosječne tlačne čvrstoće.

Kontaktna prijelazna zona (eng. *Interfacial Transition Zone - ITZ*) između cementne paste i agregata kritičan je faktor koji u velikoj mjeri utječe na svojstva betona. Do sloma procjednog betona dolazi na kontaktu između cementne paste i agregata. ITZ uglavnom ovisi o raspodjeli cementne paste oko agregata, a ona nije ravnomjerna već varira od točke do točke na svakom zrnu agregata. Veći udio cementa i manja zrna agregata dovode do manjeg intenziteta u ITZ u usporedbi s većim zrnima, čemu je razlog visoka razina poroznosti kod krupnjeg agregata.



Slika 2. Tlačna čvrstoća nakon 7 dana



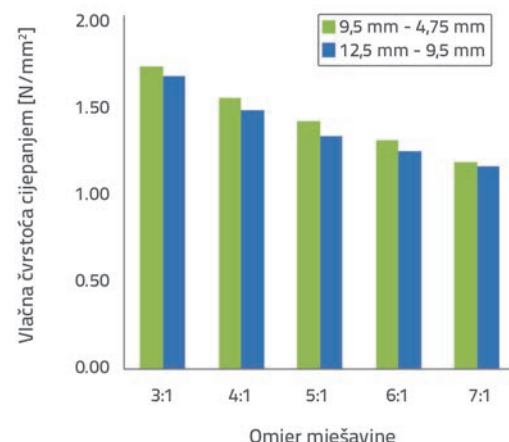
Slika 3. Tlačna čvrstoća nakon 28 dana

#### 4.2. Vlačna čvrstoća cijepanjem

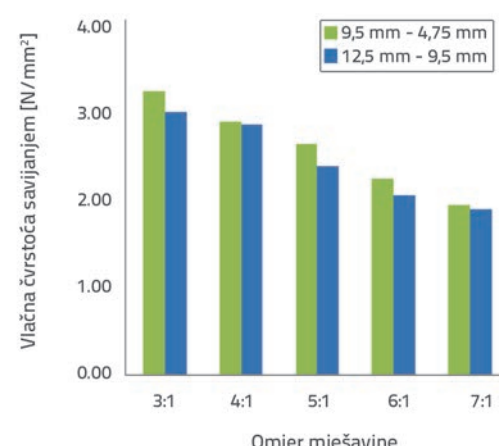
Vlačna čvrstoća cijepanjem varira od  $1,70 \text{ N/mm}^2$  do  $1,17 \text{ N/mm}^2$  za agregat tipa S1 te od  $1,66 \text{ N/mm}^2$  do  $1,15 \text{ N/mm}^2$  za agregat tipa S2, s različitim omjerom cementa i agregata od 3:1 do 7:1. Vlačna čvrstoća cijepanjem slijedi isti trend za tipove agregata S1 i S2. Razlika u vlačnoj čvrstoći cijepanjem između dvije različite veličine agregata iznosi 4 %, kao što se vidi na slici 4.

#### 4.3. Vlačna čvrstoća savijanjem

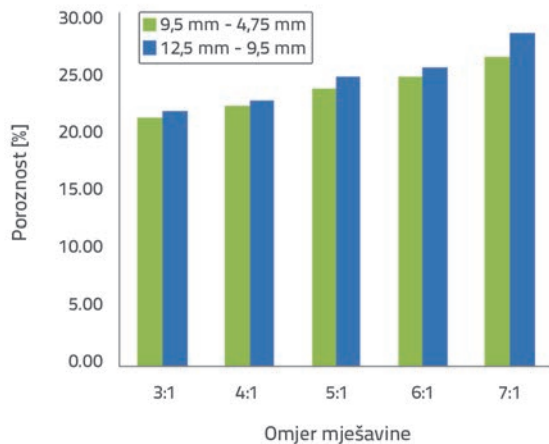
Vlačna čvrstoća savijanjem varira od  $3,21 \text{ N/mm}^2$  do  $1,93 \text{ N/mm}^2$  za agregat tipa S1 te od  $2,96 \text{ N/mm}^2$  do  $1,88 \text{ N/mm}^2$  za agregat tipa S2, s različitim omjerom cementa i agregata od 3:1 do 7:1. Prosječna razlika u vlačnoj čvrstoći savijanjem između dvije različite veličine agregata iznosi 6 %, kao što se to vidi na slici 5.



Slika 4. Vlačna čvrstoća cijepanjem



Slika 5. Vlačna čvrstoća savijanjem



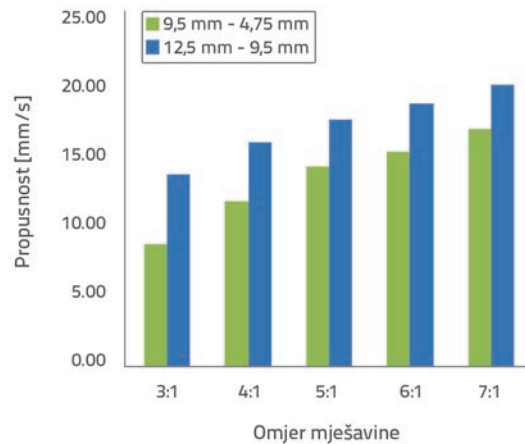
Slika 6. Poroznost

#### 4.4. Poroznost

Poroznost varira od 20,95 % do 26,19 % za agregat tipa S1 te od 21,50 % do 28,26 % za agregat tipa S2, s različitim omjerom cementa i aggregata od 3:1 do 7:1, kao što se to vidi na slici 6. Može se vidjeti da poroznost varira od 21 % do 29 % u većini mješavina, što je u skladu s prihvatljivim rasponom od 15 % do 30 % koji je općenito usvojen za procjedni beton [22, 23].

#### 4.5. Propusnost

Vrijednosti propusnosti svih mješavina prikazane su u tablici 4. Propusnost varira od 8,60 mm/s do 16,67 mm/s za agregat tipa S1 te od 13,09 mm/s do 19,80 mm/s za agregat tipa S2, s različitim omjerom cementa i aggregata od 3:1 do 7:1, kao što se to vidi na slici 7. Propusnost uglavnom ovisi o veličini međusobno spojenih pora. Mješavina procjednog betona sa sitnozrnatim agregatom odlikuje se nižom propusnošću u odnosu na mješavinu s krupnozrnatim agregatom. Vrijednost propusnosti varira od 8 do 20 mm/s, što znači da se procjedni beton može koristiti kao drenažni sloj kolničkih konstrukcija [24, 25].

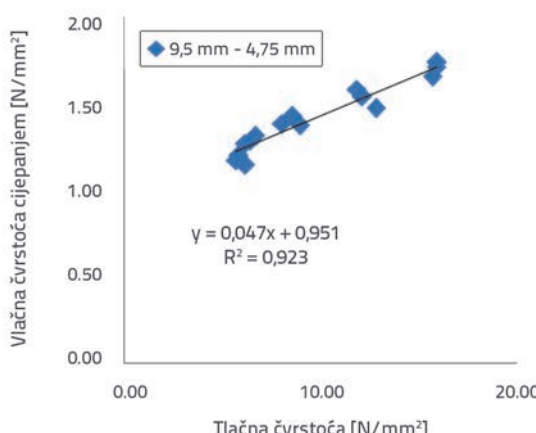


Slika 7. Propusnost

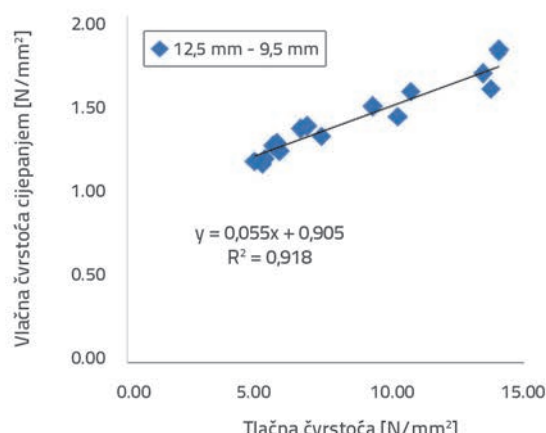
#### 4.6. Odnos između pojedinih svojstava procjednog betona

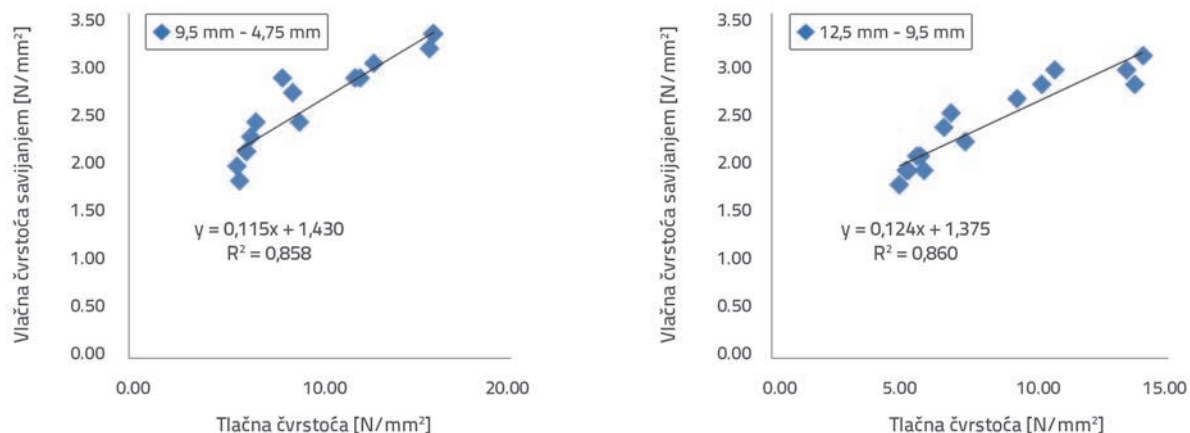
Odnos između tlačne čvrstoće i vlačne čvrstoće cijepanjem, te između tlačne čvrstoće i vlačne čvrstoće savijanjem, prikazan je na slikama 8. i 9.

Dobiveni odnos pokazuje dobru podudarnost između tlačne čvrstoće i vlačne čvrstoće savijanjem. Rezultati ispitivanja pokazuju da se čvrstoća smanjuje usporedo s povećanjem količine agregata. Procjedni beton visoke poroznosti odlikuje se niskom tlačnom čvrstoćom i visokom propusnošću, kao što se to vidi na slikama 10. i 11. Odnos između čvrstoće i poroznosti, te između poroznosti i propusnosti, u ovom je radu određen za procjedni beton na način prikazan na slici 12. Na temelju odnosa između tlačne čvrstoće, poroznosti i propusnosti dobivena je optimalna tlačna čvrstoća od 12 N/mm<sup>2</sup>, uz propusnost od 12 mm/s za agregat tipa S1 pri odnosu između agregata i cementa od 4:1. Optimalna tlačna čvrstoća od 10 N/mm<sup>2</sup> dobivena je za agregat tipa S2 uz poroznost od 23 % i propusnost od 16 mm/s pri odnosu između agregata i cementa od 4:1.

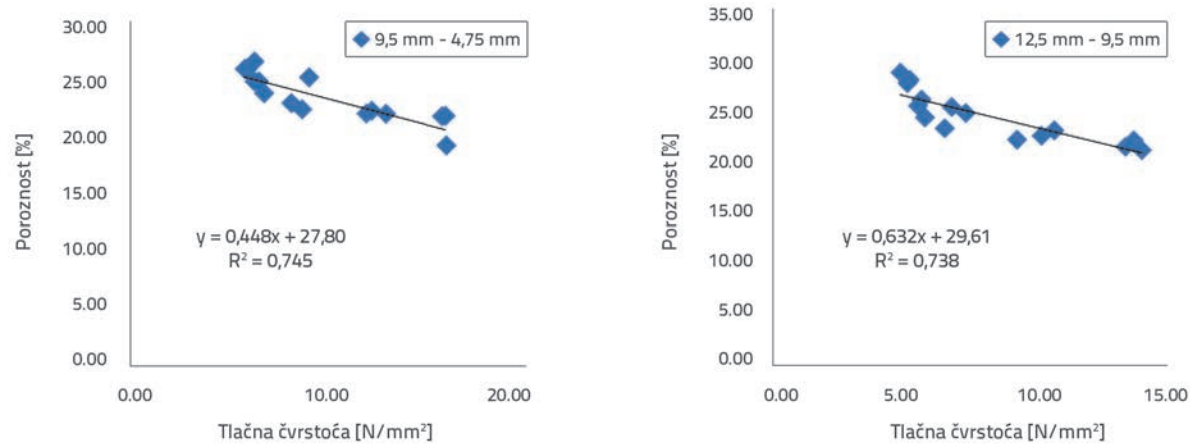


Slika 8. Odnos između tlačne čvrstoće i vlačne čvrstoće cijepanjem

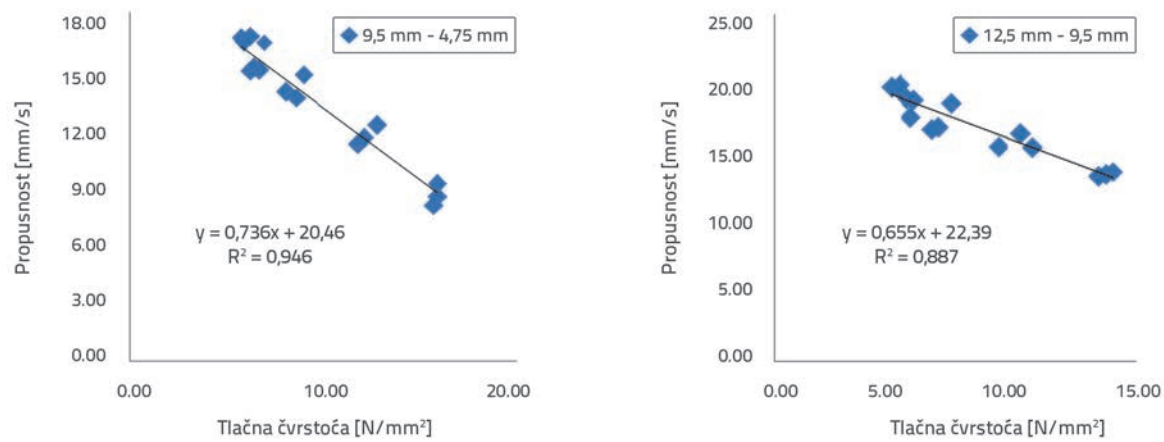




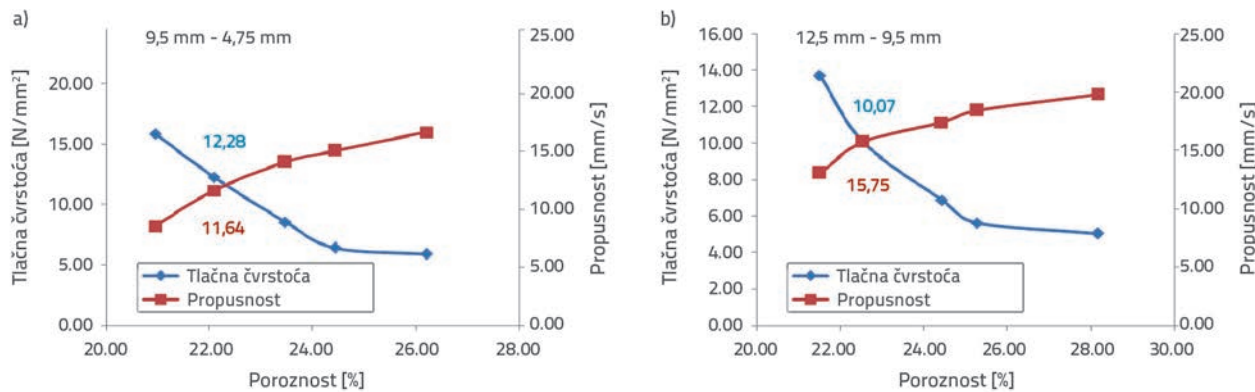
Slika 9. Odnos između tlačne čvrstoće i vlačne čvrstoće savijanjem



Slika 10. Odnos između tlačne čvrstoće i poroznosti



Slika 11. Odnos između tlačne čvrstoće i propusnosti



Slika 12. Odnos između poroznosti, tlačne čvrstoće i propusnosti

## 5. Zaključak

U ovom se radu analiziraju čvrstoća i hidraulička svojstva procijednog betona, pri čemu se koriste dvije veličine agregata i različita količina agregata, bez sitnozrnatog agregata i dodataka. Obavljena su eksperimentalna istraživanja kako bi se odredila tlačna čvrstoća, vlačna čvrstoća cijepanjem, vlačna čvrstoća savijanjem, poroznost i propusnost. Ispitano je deset različitih mješavina procijednog betona. Vrijednosti tlačne čvrstoće, vlačne čvrstoće cijepanjem i vlačne čvrstoće savijanjem mijenjaju se ovisno o količini i veličini agregata.

Tlačna čvrstoća, vlačna čvrstoća cijepanjem i vlačna čvrstoća savijanjem varira, prva od  $5 \text{ N/mm}^2$  do  $16 \text{ N/mm}^2$ , druga od  $1,15 \text{ N/mm}^2$  do  $1,7 \text{ N/mm}^2$ , i treća od  $1,88 \text{ N/mm}^2$  do  $3,21 \text{ N/mm}^2$ , za dvije veličine agregata i za različite mješavine. Utvrđeno je da

poroznost varira od 20,95 % do 28,26 %, dok propusnost varira od 8,60 mm/s do 19,80 mm/s.

Povećanje poroznosti dovodi do povećanja propusnosti i do smanjenja tlačne čvrstoće. Optimalan odnos između agregata i cementa od 4:1 dobiven je za tipove agregata S1 i S2. Iz krivulja dobivenih za ovaj odabran odnos od 4:1, optimalni rezultat agregata S1 dobiven je pri poroznosti od 22 %, tlačnoj čvrstoći od  $12 \text{ N/mm}^2$  i propusnosti od  $12 \text{ mm/s}$ . S druge strane, optimalni rezultat za agregat S2 dobiven je pri poroznosti od 23 %, tlačnoj čvrstoći od  $10 \text{ N/mm}^2$  i propusnosti od  $16 \text{ mm/s}$ . Na osnovi eksperimentalnih rezultata može se zaključiti da je upotreba procijednog betona primjereni i održivo rješenje na raznim projektima upravljanja oborinskim vodama, prije svega u slučajevima kada je pronos vode od bitnog značenja tj. kada čvrstoća nije najvažnija.

## LITERATURA

- [1] Nader, G., Shivaji, D.: Development of no-fines concrete pavement applications, *Journal of Transportation Engineering*, 121(1995) 3, pp. 283-288, [http://dx.doi.org/10.1061/\(ASCE\)0733-947X\(1995\)121:3\(283\)](http://dx.doi.org/10.1061/(ASCE)0733-947X(1995)121:3(283))
- [2] ACI 552R-08: Report on pervious concrete, *American concrete institute*, 2008.
- [3] Jing, Y., Jiang, G.: Experimental study on properties of pervious concrete pavement materials, *Cement and Concrete Research*, 33 (2003) 3, pp. 381-386, [http://dx.doi.org/10.1016/S0008-8846\(02\)00966-3](http://dx.doi.org/10.1016/S0008-8846(02)00966-3)
- [4] Obla, K.: Pervious concrete for sustainable development, in Proc. 1st Int. Conf. on Recent Advances in Concrete Technology, Washington DC, 2007.
- [5] Xian, S., Huang, B., Qiao Dong, H.W., Burdette, E.G.: Performance comparison of laboratory and field produced pervious concrete mixtures, *Construction and Building Materials*, 25(2011) 8, pp. 3187-3192
- [6] Suozzo, M., Dewoolkar, M.M.: Evaluation of Strength and Hydraulic Testing Methods of Pervious Concrete, *ACI Materials Journal*, 111(2014) 1, pp. 23-34
- [7] Putman, B.J., Neptune, A.I.: Comparison of test specimen preparation techniques for pervious concrete pavements, *Construction and Building Materials*, 25(2011) 8, pp. 3480-3485, <http://dx.doi.org/10.1016/j.conbuildmat.2011.03.039>
- [8] Beeldens, A., Van Gemert, D., Caestecker, C.: Porous concrete-Laboratory versus Filed experience, *Porous concrete-Laboratory versus Filed experience*, 2004.
- [9] Schaefer, V.R., Wang, K., Suleiman, M.T., Kevern, J.T.: Mix design development for pervious concrete in cold weather climates, *Center for Transportation Research and Education*, Iowa State University, Ames, 2006.
- [10] Lian, C., Zhuge, Y.: Optimum mix design of enhanced permeable concrete—an experimental investigation, *Construction and Building Materials*, 24(2010) 12, pp. 2664-2671, <http://dx.doi.org/10.1016/j.conbuildmat.2010.04.057>
- [11] Lian, C., Zhuge, Y., Beecham, S.: The relationship between porosity and strength for porous concrete, *Construction and Building Materials*, 25(2011) 11, pp. 4294-4298, <http://dx.doi.org/10.1016/j.conbuildmat.2011.05.005>
- [12] ASTM Standard C192: Standard practice for making and curing concrete test specimens in the laboratory concrete, cylinders, laboratory, prisms, strength testing. West Conshohocken, PA *ASTM International*, 2012.

- [13] ASTM Standard C39: Standard test method for compressive strength of concrete specimens, 2014.
- [14] ASTM Standard C496: Standard test method for splitting tensile strength of cylindrical concrete specimens, 2011.
- [15] ASTM Standard C78: Standard test method for flexural strength of concrete: ASTM International, 2002.
- [16] Park, S.-B., Tia, M.: An experimental study on the water-purification properties of porous concrete, *Cement and Concrete Research*, 34(2004) 2, pp.177-184, [http://dx.doi.org/10.1016/S0008-8846\(03\)00223-0](http://dx.doi.org/10.1016/S0008-8846(03)00223-0)
- [17] Kuo, Wen-Ten, Chih-Chien Liu, De-Sin Su.: Use of washed municipal solid waste incinerator bottom ash in pervious concrete, *Cement and Concrete Composites*, 37 (2013), pp. 328-335, <http://dx.doi.org/10.1016/j.cemconcomp.2013.01.001>
- [18] Čosić, K., Korat, L., Ducman, V., Netinger, I.: Influence of aggregate type and size on properties of pervious concrete, *Construction and Building Materials*, 78 (2015), pp. 69-76, <http://dx.doi.org/10.1016/j.conbuildmat.2014.12.073>
- [19] Mrakovčić, S., Čeh, N., Jugovac, V.: Effect of aggregate grading on pervious concrete properties, *Građevinar*, 66 (2014) 2, pp.107-113, <http://dx.doi.org/10.14256/JCE.977.2013>
- [20] Cheng, A., Hsu, H.M., Chao, S.J., Lin, K.L.: Experimental study on properties of pervious concrete made with recycled aggregate, *International Journal of Pavement Research and Technology*, 4(2011) 2, pp. 104-110
- [21] Huang, B., Mohammad, N.L., Raghavendra, A., Abadie, C.: Fundamentals of Permeability in Asphalt Mixtures, *The Annual Meeting of the Association of Asphalt Paving Technologist*, 1999.
- [22] Neithalath, N., Bentz, D. P., Sumanasooriya, M. S.: Advances in pore structure characterization and performance prediction of pervious concretes, *Concr Int*, 32(2010) 5, pp. 35-40
- [23] Tennis, P.D., Leming, M.L., Akers, D.J.: Porous Concrete Pavements, *EB302 Portland Cement Association Skokie Illinois and National Ready Mixed Concrete Association*, Maryland, Silver Spring, 2004.
- [24] Wang, W.: Study of pervious concrete strength, *Sci Technol Build Mater China*, 6(1997) 3, pp. 25-28
- [25] Huang, B., Wu, H., Shu, X., Burdette, E.G.: Laboratory evaluation of permeability and strength of polymer-modified pervious concrete, *Construction and Building Materials*, 24(2010) 5, pp. 818-823, <http://dx.doi.org/10.1016/j.conbuildmat.2009.10.025>